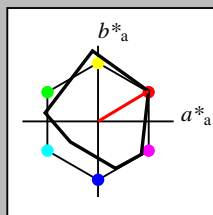


### Eingabe: Farbmatisches Reflexions-System MRS18a

für Buntton  $h^* = lab^*h = 31/360 = 0.086$   
 $lab^*ich$  und  $lab^*nch$

D65: Buntton R  
LCH\*Ma: 50 78 31  
rgb\*Ma: 1.0 0.0 0.0

Dreiecks-Helligkeit  $t^*$



%Umfang  
 $u^*_{rel} = 92$   
%Regularität  
 $g^*_{H,rel} = 42$   
 $g^*_{C,rel} = 49$

### MRS18a; adaptierte CIELAB-Daten

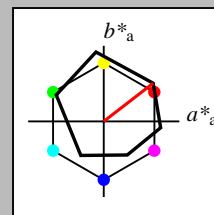
	$L^*=L^*_a$	$a^*_a$	$b^*_a$	$C^*_{ab,a}$	$h^*_{ab,a}$
RMa	49.63	66.8	40.02	77.87	31
JMa	90.7	-7.27	93.19	93.48	94
GMa	52.11	-69.93	11.26	70.85	171
G50BMa	45.03	-36.65	-27.13	45.61	217
BMa	36.65	23.26	-62.27	66.49	290
B50RMa	34.94	57.27	-43.6	71.99	323
NMa	18.01	0.0	0.0	0.0	0
WMa	95.41	0.0	0.0	0.0	0
RCIE	39.92	58.67	27.97	64.99	25
JCIE	81.26	-2.91	71.56	71.62	92
GCIE	52.23	-42.47	13.58	44.6	162
BCIE	30.57	1.33	-46.48	46.51	272

### Ausgabe: Farbmatisches Reflexions-System ORS18

für Buntton  $h^* = lab^*h = 38/360 = 0.105$   
 $lab^*ich$  und  $lab^*nch$

D65: Buntton O  
LCH\*Ma: 48 83 38  
rgb\*Ma: 1.0 0.0 0.0

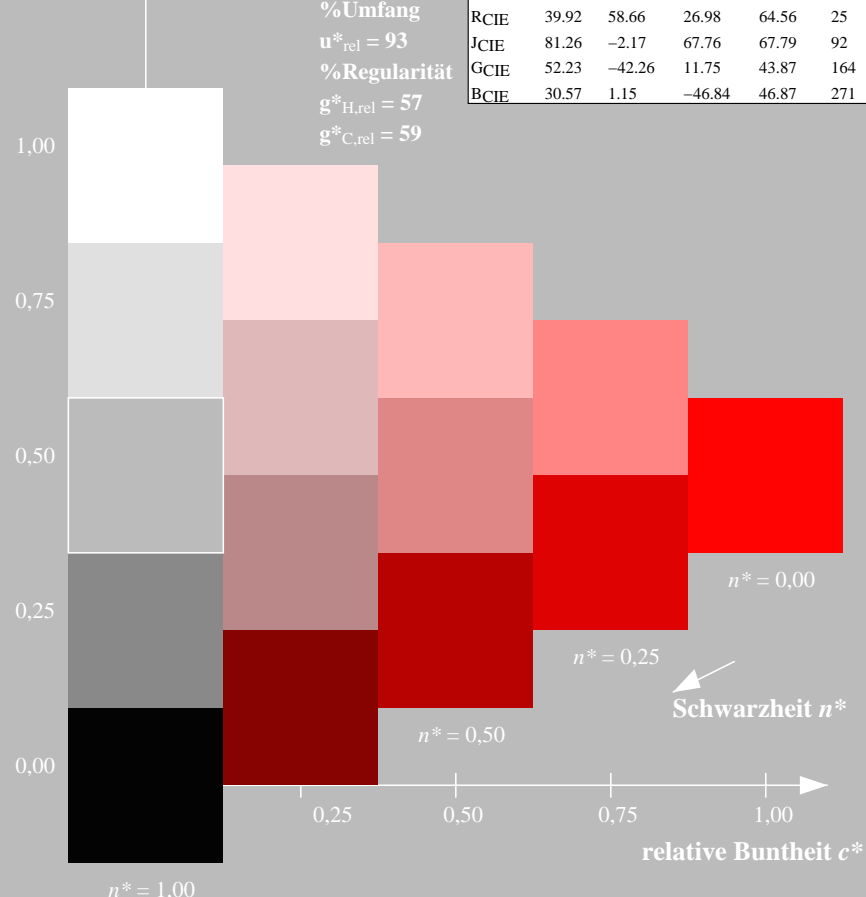
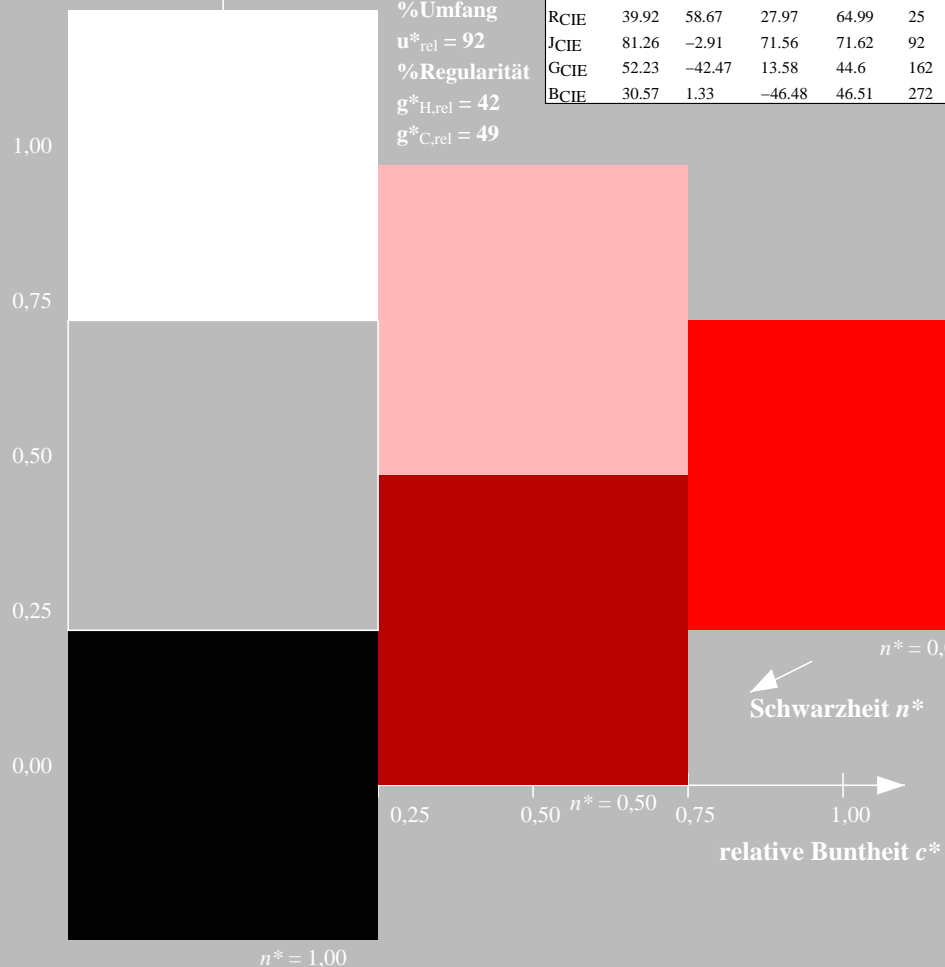
Dreiecks-Helligkeit  $t^*$



%Umfang  
 $u^*_{rel} = 93$   
%Regularität  
 $g^*_{H,rel} = 57$   
 $g^*_{C,rel} = 59$

### ORS18; adaptierte CIELAB-Daten

	$L^*=L^*_a$	$a^*_a$	$b^*_a$	$C^*_{ab,a}$	$h^*_{ab,a}$
OMa	47.94	65.37	50.52	82.62	38
YMa	90.37	-10.27	91.77	92.34	96
LMa	50.9	-62.79	34.95	71.87	151
CMa	58.62	-30.35	-45.01	54.3	236
VMa	25.71	31.11	-44.42	54.24	305
MMa	48.13	75.27	-8.35	75.73	354
NMa	18.01	0.0	0.0	0.0	0
WMa	95.41	0.0	0.0	0.0	0
RCIE	39.92	58.66	26.98	64.56	25
JCIE	81.26	-2.17	67.76	67.79	92
GCIE	52.23	-42.26	11.75	43.87	164
BCIE	30.57	1.15	-46.84	46.87	271



TG860-7, 3stufige Reihen für konstanten CIELAB Buntton 31/360 = 0.086 (links)

5stufige Reihen für konstanten CIELAB Buntton 38/360 = 0.105 (rechts)

BAM-Prüfvorlage TG86; Farbmeter-Systeme MRS18a & ORS18  
D65: 3 und 5stufige Farbreihen für 10 Bunttöne

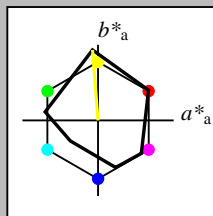
Input: `olv* setrgbcolor`  
output: `olv* setrgbcolor / w* setgray`

Siehe ähnliche Dateien: <http://www.ps.bam.de/TG86/>  
Technische Information: <http://www.ps.bam.de> Version 2.1, io=1,1, CIEXYZ

Eingabe: Farbmatisches Reflexions-System MRS18a  
für Buntton  $h^* = lab^*h = 94/360 = 0.262$   
 $lab^*ich$  und  $lab^*nch$

D65: Buntton J  
LCH\*Ma: 91 93 94  
rgb\*Ma: 1.0 1.0 0.0

Dreiecks-Helligkeit  $t^*$



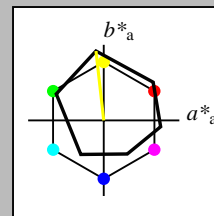
%Umfang  
 $u^*_{rel} = 92$   
%Regularität  
 $g^*_{H,rel} = 42$   
 $g^*_{C,rel} = 49$

MRS18a; adaptierte CIELAB-Daten					
	$L^*=L^*_a$	$a^*_a$	$b^*_a$	$C^*_{ab,a}$	$h^*_{ab,a}$
RMa	49.63	66.8	40.02	77.87	31
JMa	90.7	-7.27	93.19	93.48	94
GMa	52.11	-69.93	11.26	70.85	171
G50BMa	45.03	-36.65	-27.13	45.61	217
BMa	36.65	23.26	-62.27	66.49	290
B50RMa	34.94	57.27	-43.6	71.99	323
NMa	18.01	0.0	0.0	0.0	0
WMa	95.41	0.0	0.0	0.0	0
RCIE	39.92	58.67	27.97	64.99	25
JCIE	81.26	-2.91	71.56	71.62	92
GCIE	52.23	-42.47	13.58	44.6	162
BCIE	30.57	1.33	-46.48	46.51	272

Ausgabe: Farbmatisches Reflexions-System ORS18  
für Buntton  $h^* = lab^*h = 96/360 = 0.268$   
 $lab^*ich$  und  $lab^*nch$

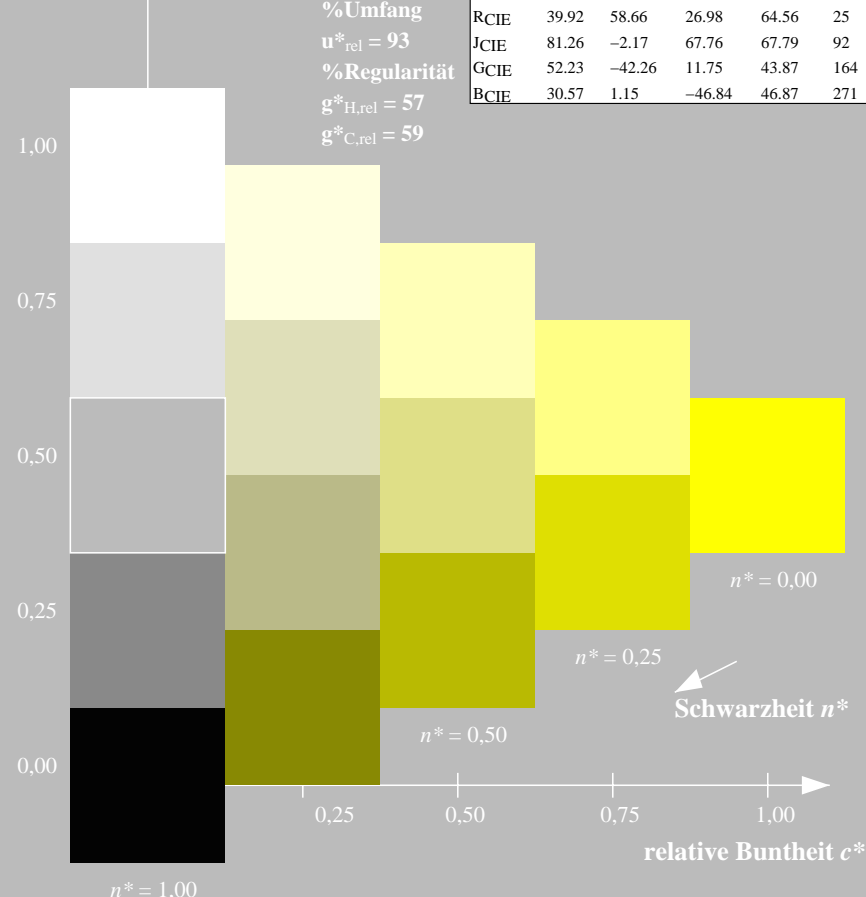
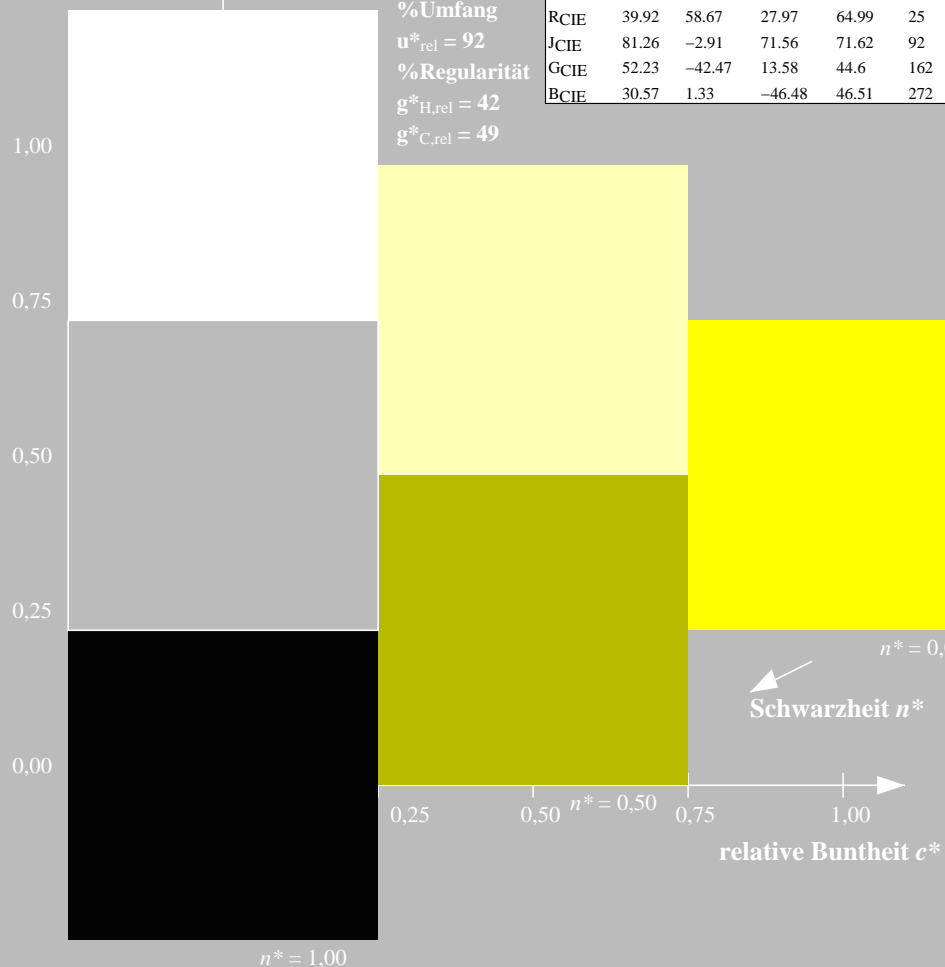
D65: Buntton Y  
LCH\*Ma: 90 92 96  
rgb\*Ma: 1.0 1.0 0.0

Dreiecks-Helligkeit  $t^*$



%Umfang  
 $u^*_{rel} = 93$   
%Regularität  
 $g^*_{H,rel} = 57$   
 $g^*_{C,rel} = 59$

ORS18; adaptierte CIELAB-Daten					
	$L^*=L^*_a$	$a^*_a$	$b^*_a$	$C^*_{ab,a}$	$h^*_{ab,a}$
OMa	47.94	65.37	50.52	82.62	38
YMa	90.37	-10.27	91.77	92.34	96
LMa	50.9	-62.79	34.95	71.87	151
CMa	58.62	-30.35	-45.01	54.3	236
VMa	25.71	31.11	-44.42	54.24	305
MMa	48.13	75.27	-8.35	75.73	354
NMa	18.01	0.0	0.0	0.0	0
WMa	95.41	0.0	0.0	0.0	0
RCIE	39.92	58.66	26.98	64.56	25
JCIE	81.26	-2.17	67.76	67.79	92
GCIE	52.23	-42.26	11.75	43.87	164
BCIE	30.57	1.15	-46.84	46.87	271



TG860-7, 3stufige Reihen für konstanten CIELAB Buntton 94/360 = 0.262 (links)

5stufige Reihen für konstanten CIELAB Buntton 96/360 = 0.268 (rechts)

BAM-Prüfvorlage TG86; Farbmeter-Systeme MRS18a & ORS18  
D65: 3 und 5stufige Farbreihen für 10 Bunttöne

input: `olv* setrgbcolor`  
output: `olv* setrgbcolor / w* setgray`

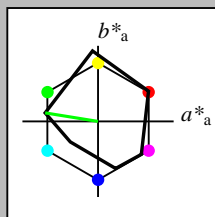
BAM-Registrierung: 20060101-TG86/10Q/Q86G01FP.PS/.PDF BAM-Material: Code=rhata  
Anwendung für Beurteilung und Messung von Drucker- oder Monitorsystemen, Yr=2.5, XYZ  
/TG86 Form: 2/10, Serie: 1/1, Seite: 2 Seitenlung 2

Eingabe: Farbmatisches Reflexions-System MRS18a

für Buntton  $h^* = lab^*h = 171/360 = 0.475$   
 $lab^*ich$  und  $lab^*nch$

D65: Buntton G  
LCH\*Ma: 52 71 171  
rgb\*Ma: 0.0 1.0 0.0

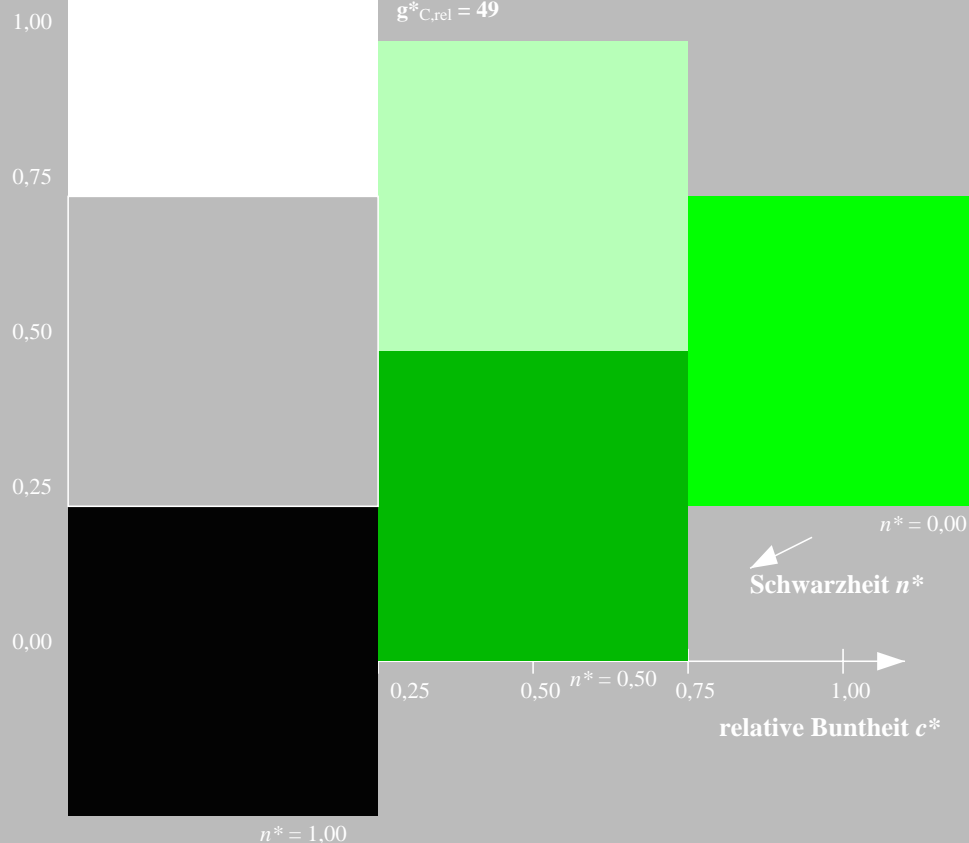
Dreiecks-Helligkeit  $t^*$



MRS18a; adaptierte CIELAB-Daten

	$L^*=L_a^*$	$a_a^*$	$b_a^*$	$C_{ab,a}^*$	$h_{ab,a}^*$
RMa	49.63	66.8	40.02	77.87	31
JMa	90.7	-7.27	93.19	93.48	94
GMa	52.11	-69.93	11.26	70.85	171
G50BMa	45.03	-36.65	-27.13	45.61	217
BMa	36.65	23.26	-62.27	66.49	290
B50RMa	34.94	57.27	-43.6	71.99	323
NMa	18.01	0.0	0.0	0.0	0
WMa	95.41	0.0	0.0	0.0	0
RCIE	39.92	58.67	27.97	64.99	25
JCIE	81.26	-2.91	71.56	71.62	92
GCIE	52.23	-42.47	13.58	44.6	162
BCIE	30.57	1.33	-46.48	46.51	272

%Umfang  
 $u_{rel}^* = 92$   
%Regularität  
 $g_{H,rel}^* = 42$   
 $g_{C,rel}^* = 49$

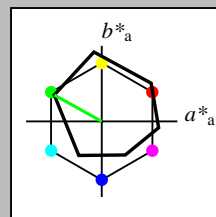


Ausgabe: Farbmatisches Reflexions-System ORS18

für Buntton  $h^* = lab^*h = 151/360 = 0.419$   
 $lab^*ich$  und  $lab^*nch$

D65: Buntton L  
LCH\*Ma: 51 72 151  
rgb\*Ma: 0.0 1.0 0.0

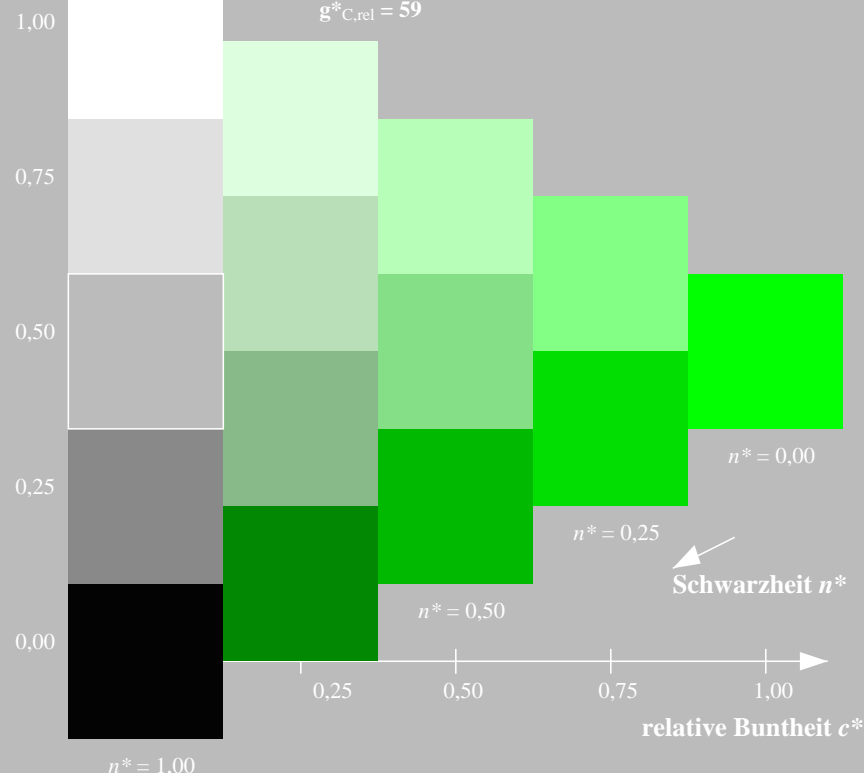
Dreiecks-Helligkeit  $t^*$



ORS18; adaptierte CIELAB-Daten

	$L^*=L_a^*$	$a_a^*$	$b_a^*$	$C_{ab,a}^*$	$h_{ab,a}^*$
OMa	47.94	65.37	50.52	82.62	38
YMa	90.37	-10.27	91.77	92.34	96
LMa	50.9	-62.79	34.95	71.87	151
CMa	58.62	-30.35	-45.01	54.3	236
VMa	25.71	31.11	-44.42	54.24	305
MMa	48.13	75.27	-8.35	75.73	354
NMa	18.01	0.0	0.0	0.0	0
WMa	95.41	0.0	0.0	0.0	0
RCIE	39.92	58.66	26.98	64.56	25
JCIE	81.26	-2.17	67.76	67.79	92
GCIE	52.23	-42.26	11.75	43.87	164
BCIE	30.57	1.15	-46.84	46.87	271

%Umfang  
 $u_{rel}^* = 93$   
%Regularität  
 $g_{H,rel}^* = 57$   
 $g_{C,rel}^* = 59$



TG860-7, 3stufige Reihen für konstanten CIELAB Buntton 171/360 = 0.475 (links)

5stufige Reihen für konstanten CIELAB Buntton 151/360 = 0.419 (rechts)

BAM-Prüfvorlage TG86; Farbmatrik-Systeme MRS18a & ORS18

D65: 3 und 5stufige Farbreihen für 10 Bunttöne

input: `olv* setrgbcolor`

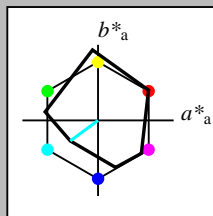
output: `olv* setrgbcolor / w* setgray`

Siehe ähnliche Dateien: <http://www.ps.bam.de/TG86/>  
Technische Information: <http://www.ps.bam.de> Version 2.1, io=1,1, CIEXYZ

Eingabe: Farbmatisches Reflexions-System MRS18a  
für Buntton  $h^* = lab^*h = 217/360 = 0.601$   
 $lab^*ich$  und  $lab^*nch$

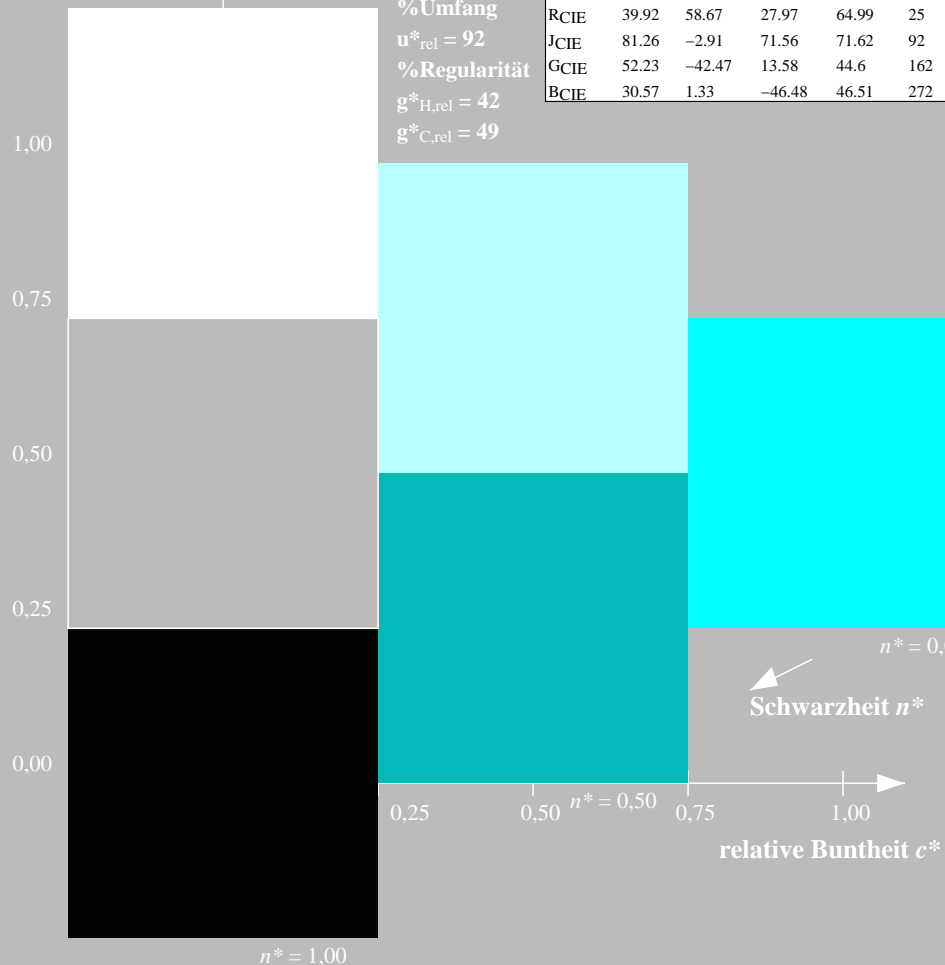
D65: Buntton G50B  
LCH\*Ma: 45 46 217  
rgb\*Ma: 0.0 1.0 1.0

Dreiecks-Helligkeit  $t^*$



MRS18a; adaptierte CIELAB-Daten					
	$L^*=L^*_a$	$a^*_a$	$b^*_a$	$C^*_{ab,a}$	$h^*_{ab,a}$
RMa	49.63	66.8	40.02	77.87	31
JMa	90.7	-7.27	93.19	93.48	94
GMa	52.11	-69.93	11.26	70.85	171
G50BMa	45.03	-36.65	-27.13	45.61	217
BMa	36.65	23.26	-62.27	66.49	290
B50RMa	34.94	57.27	-43.6	71.99	323
NMa	18.01	0.0	0.0	0.0	0
WMa	95.41	0.0	0.0	0.0	0
RCIE	39.92	58.67	27.97	64.99	25
JCIE	81.26	-2.91	71.56	71.62	92
GCIE	52.23	-42.47	13.58	44.6	162
BCIE	30.57	1.33	-46.48	46.51	272

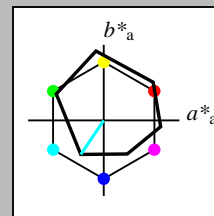
%Umfang  
 $u^*_{rel} = 92$   
%Regularität  
 $g^*_{H,rel} = 42$   
 $g^*_{C,rel} = 49$



Ausgabe: Farbmatisches Reflexions-System ORS18  
für Buntton  $h^* = lab^*h = 236/360 = 0.656$   
 $lab^*ich$  und  $lab^*nch$

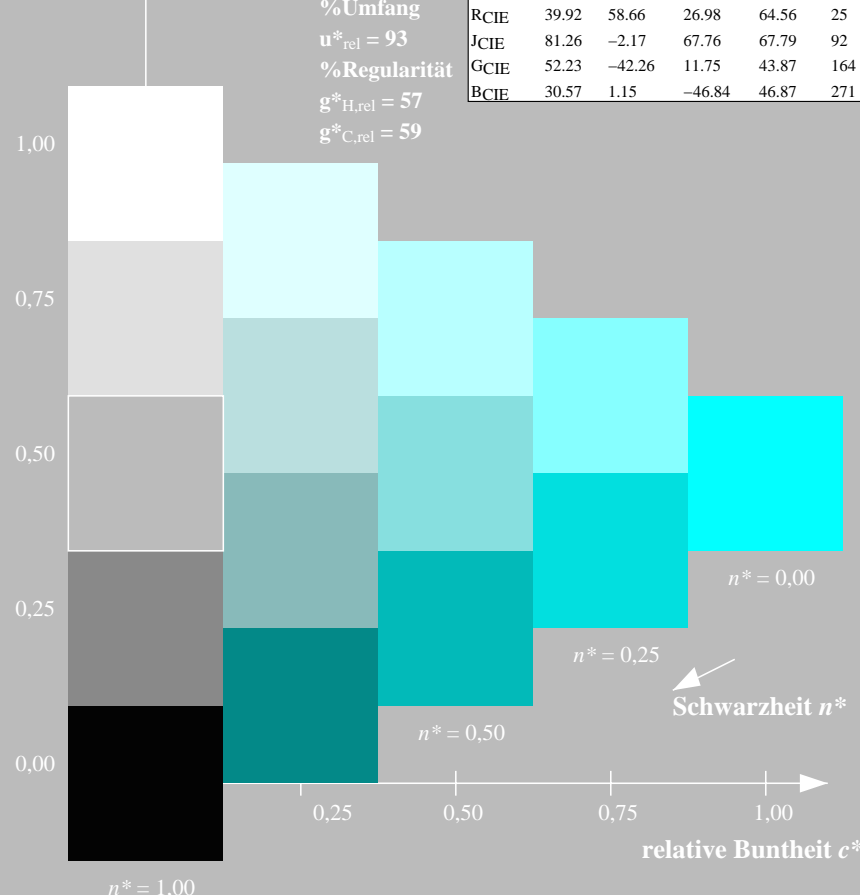
D65: Buntton C  
LCH\*Ma: 59 54 236  
rgb\*Ma: 0.0 1.0 1.0

Dreiecks-Helligkeit  $t^*$



ORS18; adaptierte CIELAB-Daten					
	$L^*=L^*_a$	$a^*_a$	$b^*_a$	$C^*_{ab,a}$	$h^*_{ab,a}$
OMa	47.94	65.37	50.52	82.62	38
YMa	90.37	-10.27	91.77	92.34	96
LMa	50.9	-62.79	34.95	71.87	151
CMa	58.62	-30.35	-45.01	54.3	236
VMa	25.71	31.11	-44.42	54.24	305
MMa	48.13	75.27	-8.35	75.73	354
NMa	18.01	0.0	0.0	0.0	0
WMa	95.41	0.0	0.0	0.0	0
RCIE	39.92	58.66	26.98	64.56	25
JCIE	81.26	-2.17	67.76	67.79	92
GCIE	52.23	-42.26	11.75	43.87	164
BCIE	30.57	1.15	-46.84	46.87	271

%Umfang  
 $u^*_{rel} = 93$   
%Regularität  
 $g^*_{H,rel} = 57$   
 $g^*_{C,rel} = 59$



TG860-7, 3stufige Reihen für konstanten CIELAB Buntton 217/360 = 0.601 (links)

5stufige Reihen für konstanten CIELAB Buntton 236/360 = 0.656 (rechts)

BAM-Prüfvorlage TG86; Farbmatrik-Systeme MRS18a & ORS18  
D65: 3 und 5stufige Farbreihen für 10 Bunttöne

input: `olv* setrgbcolor`  
output: `olv* setrgbcolor / w* setgray`

BAM-Registrierung: 20060101-TG86/10Q/Q86G03FP.PS/.PDF BAM-Material: Code=rh4ta  
Anwendung für Beurteilung und Messung von Drucker- oder Monitorsystemen, Yr=2.5, XYZ  
/TG86 Form: 4/10, Serie: 1/1, Seite: 4 Seiten: 4

Eingabe: Farbmatisches Reflexions-System MRS18a

für Buntton  $h^* = lab^*h = 290/360 = 0.807$

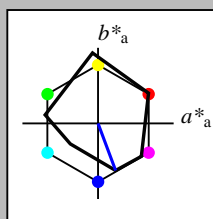
$lab^*ich$  und  $lab^*nch$

D65: Buntton B

LCH\*Ma: 37 66 290

rgb\*Ma: 0.0 0.0 1.0

Dreiecks-Helligkeit  $t^*$



%Umfang  
 $u^*_{rel} = 92$   
%Regularität  
 $g^*_{H,rel} = 42$   
 $g^*_{C,rel} = 49$

MRS18a; adaptierte CIELAB-Daten

	$L^*=L^*_a$	$a^*_a$	$b^*_a$	$C^*_{ab,a}$	$h^*_{ab,a}$
RMa	49.63	66.8	40.02	77.87	31
JMa	90.7	-7.27	93.19	93.48	94
GMa	52.11	-69.93	11.26	70.85	171
G50BMa	45.03	-36.65	-27.13	45.61	217
BMa	36.65	23.26	-62.27	66.49	290
B50RMa	34.94	57.27	-43.6	71.99	323
NMa	18.01	0.0	0.0	0.0	0
WMa	95.41	0.0	0.0	0.0	0
RCIE	39.92	58.67	27.97	64.99	25
JCIE	81.26	-2.91	71.56	71.62	92
GCIE	52.23	-42.47	13.58	44.6	162
BCIE	30.57	1.33	-46.48	46.51	272

Ausgabe: Farbmatisches Reflexions-System ORS18

für Buntton  $h^* = lab^*h = 305/360 = 0.847$

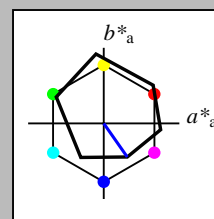
$lab^*ich$  und  $lab^*nch$

D65: Buntton V

LCH\*Ma: 26 54 305

rgb\*Ma: 0.0 0.0 1.0

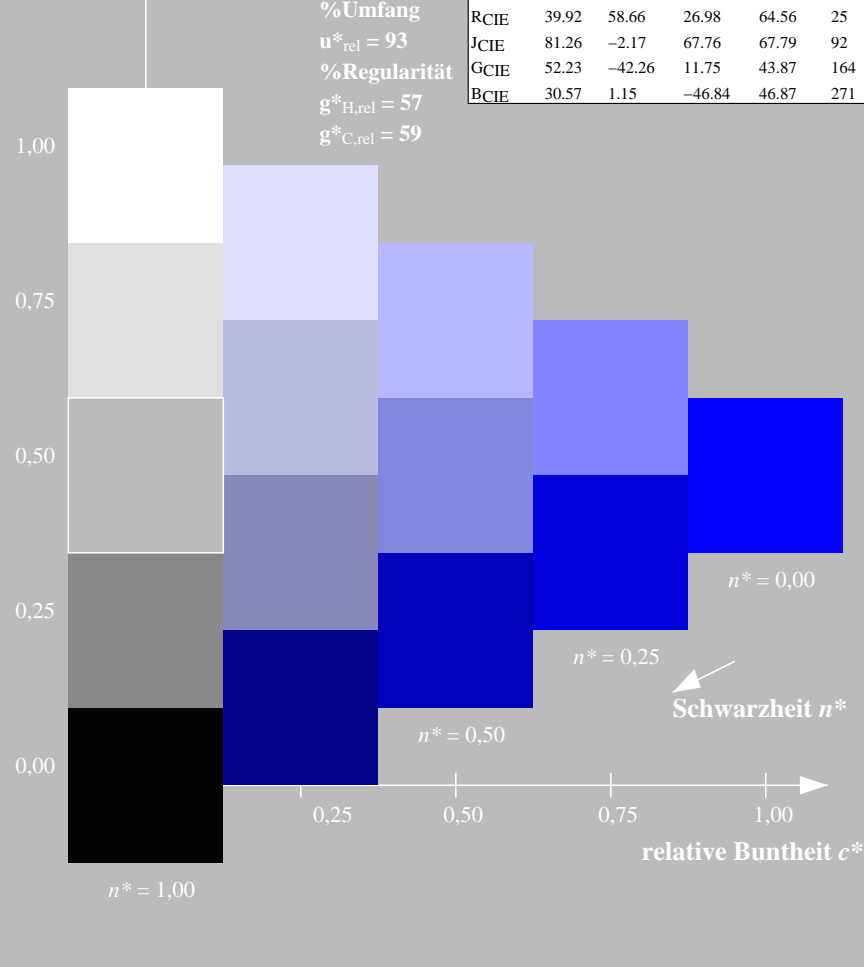
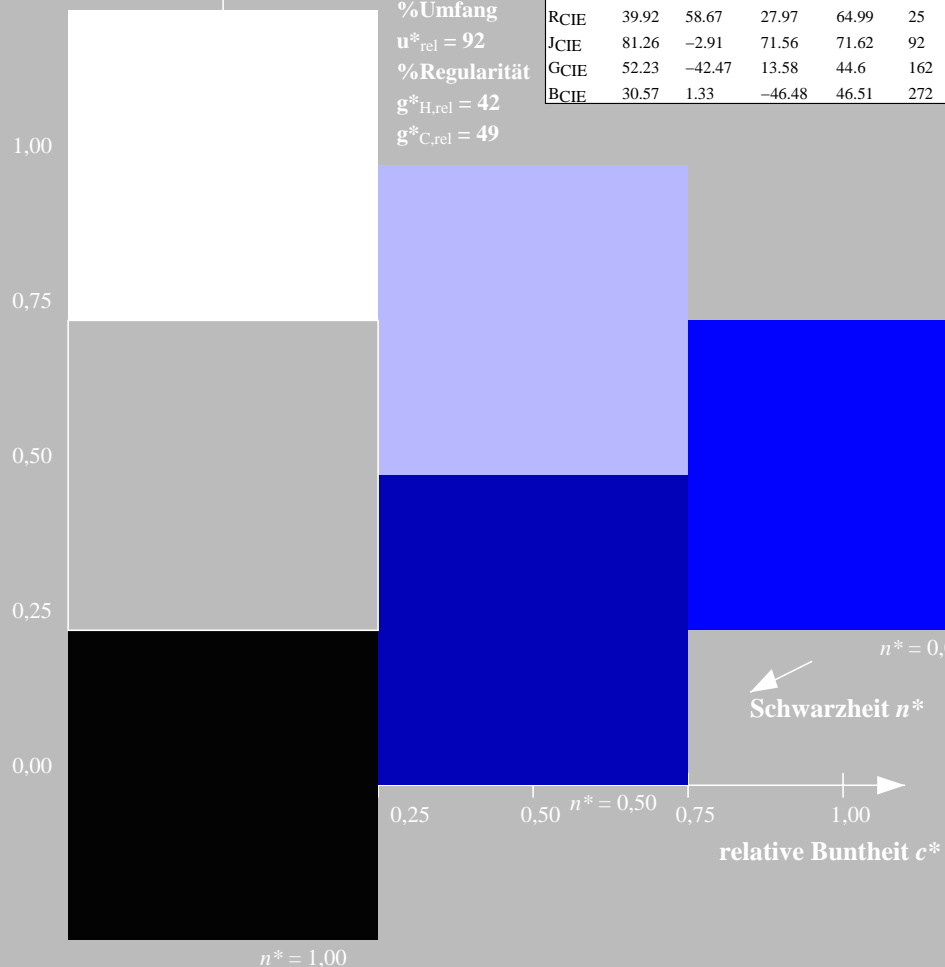
Dreiecks-Helligkeit  $t^*$



%Umfang  
 $u^*_{rel} = 93$   
%Regularität  
 $g^*_{H,rel} = 57$   
 $g^*_{C,rel} = 59$

ORS18; adaptierte CIELAB-Daten

	$L^*=L^*_a$	$a^*_a$	$b^*_a$	$C^*_{ab,a}$	$h^*_{ab,a}$
OMa	47.94	65.37	50.52	82.62	38
YMa	90.37	-10.27	91.77	92.34	96
LMa	50.9	-62.79	34.95	71.87	151
CMa	58.62	-30.35	-45.01	54.3	236
VMa	25.71	31.11	-44.42	54.24	305
MMa	48.13	75.27	-8.35	75.73	354
NMa	18.01	0.0	0.0	0.0	0
WMa	95.41	0.0	0.0	0.0	0
RCIE	39.92	58.66	26.98	64.56	25
JCIE	81.26	-2.17	67.76	67.79	92
GCIE	52.23	-42.26	11.75	43.87	164
BCIE	30.57	1.15	-46.84	46.87	271



TG860-7, 3stufige Reihen für konstanten CIELAB Buntton 290/360 = 0.807 (links)

5stufige Reihen für konstanten CIELAB Buntton 305/360 = 0.847 (rechts)

BAM-Prüfvorlage TG86; Farbmatrik-Systeme MRS18a & ORS18

D65: 3 und 5stufige Farbreihen für 10 Bunttöne

input: `olv* setrgbcolor`

output: `olv* setrgbcolor / w* setgray`

Eingabe: Farbmatisches Reflexions-System MRS18a

für Buntton  $h^* = lab^*h = 323/360 = 0.896$

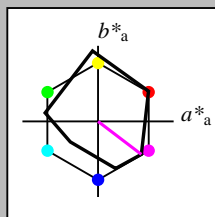
$lab^*ich$  und  $lab^*nch$

D65: Buntton B50R

LCH\*Ma: 35 72 323

rgb\*Ma: 1.0 0.0 1.0

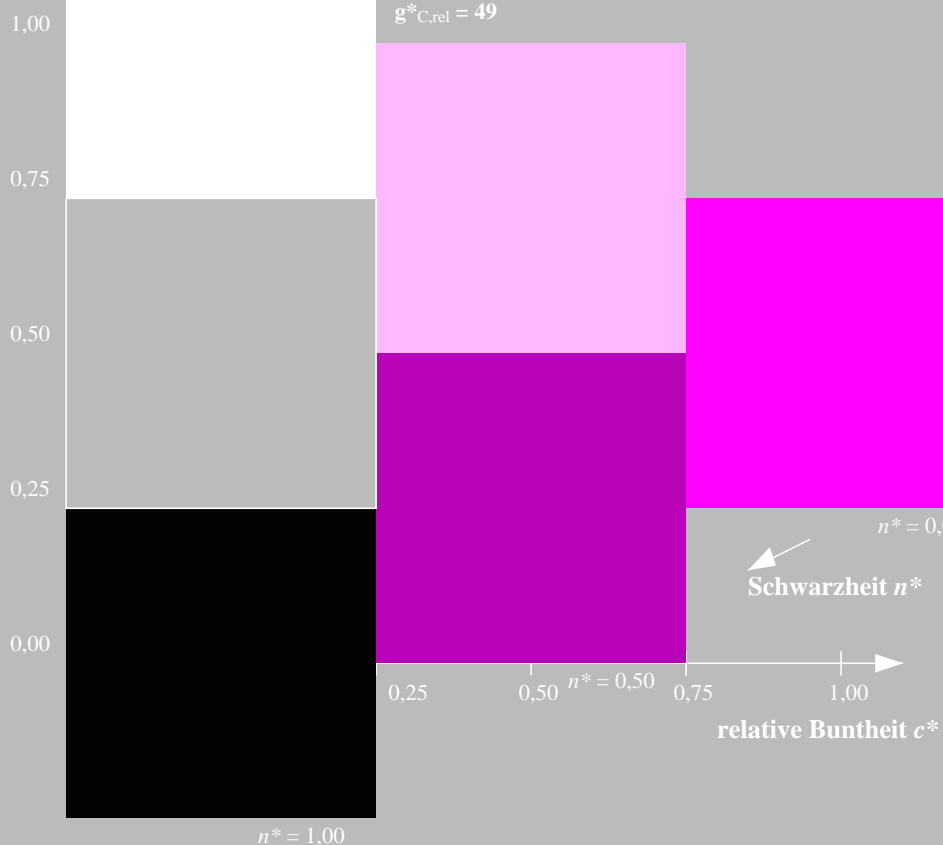
Dreiecks-Helligkeit  $t^*$



%Umfang  
 $u^*_{rel} = 92$   
%Regularität  
 $g^*_{H,rel} = 42$   
 $g^*_{C,rel} = 49$

MRS18a; adaptierte CIELAB-Daten

	$L^*=L^*_a$	$a^*_a$	$b^*_a$	$C^*_{ab,a}$	$h^*_{ab,a}$
RMa	49.63	66.8	40.02	77.87	31
JMa	90.7	-7.27	93.19	93.48	94
GMa	52.11	-69.93	11.26	70.85	171
G50BMa	45.03	-36.65	-27.13	45.61	217
BMa	36.65	23.26	-62.27	66.49	290
B50RMa	34.94	57.27	-43.6	71.99	323
NMa	18.01	0.0	0.0	0.0	0
WMa	95.41	0.0	0.0	0.0	0
RCIE	39.92	58.67	27.97	64.99	25
JCIE	81.26	-2.91	71.56	71.62	92
GCIE	52.23	-42.47	13.58	44.6	162
BCIE	30.57	1.33	-46.48	46.51	272



Ausgabe: Farbmatisches Reflexions-System ORS18

für Buntton  $h^* = lab^*h = 354/360 = 0.982$

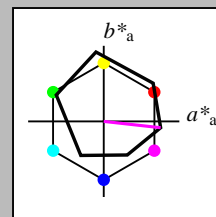
$lab^*ich$  und  $lab^*nch$

D65: Buntton M

LCH\*Ma: 48 76 354

rgb\*Ma: 1.0 0.0 1.0

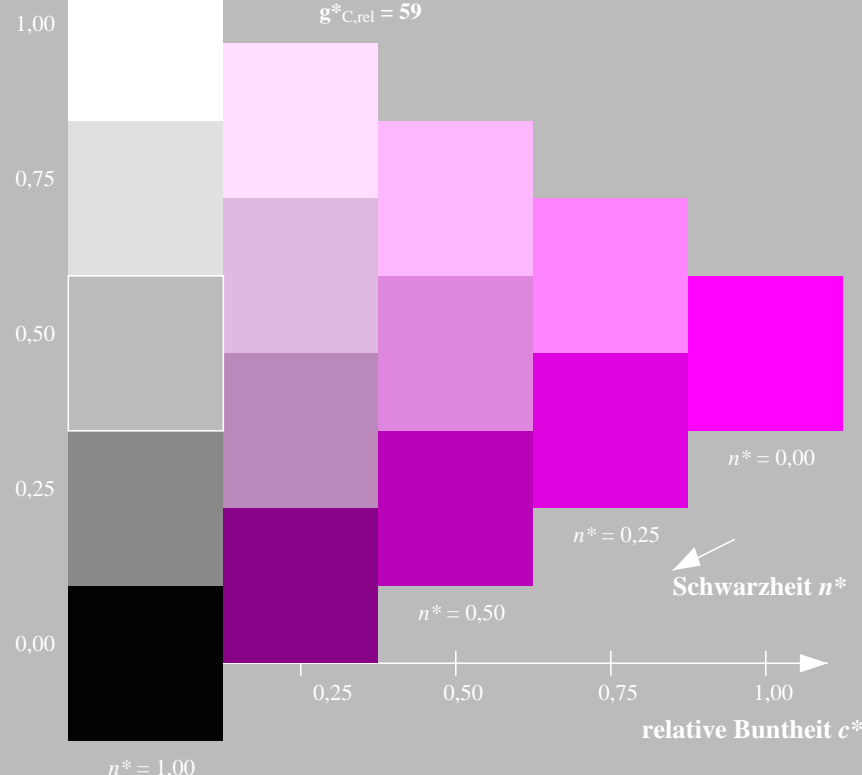
Dreiecks-Helligkeit  $t^*$



%Umfang  
 $u^*_{rel} = 93$   
%Regularität  
 $g^*_{H,rel} = 57$   
 $g^*_{C,rel} = 59$

ORS18; adaptierte CIELAB-Daten

	$L^*=L^*_a$	$a^*_a$	$b^*_a$	$C^*_{ab,a}$	$h^*_{ab,a}$
OMa	47.94	65.37	50.52	82.62	38
YMa	90.37	-10.27	91.77	92.34	96
LMa	50.9	-62.79	34.95	71.87	151
CMa	58.62	-30.35	-45.01	54.3	236
VMa	25.71	31.11	-44.42	54.24	305
MMa	48.13	75.27	-8.35	75.73	354
NMa	18.01	0.0	0.0	0.0	0
WMa	95.41	0.0	0.0	0.0	0
RCIE	39.92	58.66	26.98	64.56	25
JCIE	81.26	-2.17	67.76	67.79	92
GCIE	52.23	-42.26	11.75	43.87	164
BCIE	30.57	1.15	-46.84	46.87	271



TG860-7, 3stufige Reihen für konstanten CIELAB Buntton 323/360 = 0.896 (links)

5stufige Reihen für konstanten CIELAB Buntton 354/360 = 0.982 (rechts)

BAM-Prüfvorlage TG86; Farbmatrik-Systeme MRS18a & ORS18

D65: 3 und 5stufige Farbreihen für 10 Bunttöne

input: `olv* setrgbcolor`

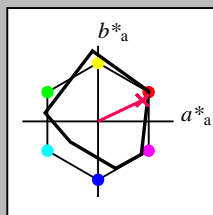
output: `olv* setrgbcolor / w* setgray`

Eingabe: Farbmatisches Reflexions-System MRS18a

für Buntton  $h^* = lab^*h = 25/360 = 0.071$   
 $lab^*ich$  und  $lab^*nch$

D65: Buntton R  
LCH\*Ma: 48 73 25  
rgb\*Ma: 1.0 0.0 0.1

Dreiecks-Helligkeit  $t^*$



%Umfang  
 $u^*_{rel} = 92$   
%Regularität  
 $g^*_{H,rel} = 42$   
 $g^*_{C,rel} = 49$

MRS18a; adaptierte CIELAB-Daten

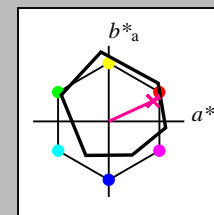
	$L^*=L^*_a$	$a^*_a$	$b^*_a$	$C^*_{ab,a}$	$h^*_{ab,a}$
RMa	49.63	66.8	40.02	77.87	31
JMa	90.7	-7.27	93.19	93.48	94
GMa	52.11	-69.93	11.26	70.85	171
G50BMa	45.03	-36.65	-27.13	45.61	217
BMa	36.65	23.26	-62.27	66.49	290
B50RMa	34.94	57.27	-43.6	71.99	323
NMa	18.01	0.0	0.0	0.0	0
WMa	95.41	0.0	0.0	0.0	0
RCIE	39.92	58.67	27.97	64.99	25
JCIE	81.26	-2.91	71.56	71.62	92
GCIE	52.23	-42.47	13.58	44.6	162
BCIE	30.57	1.33	-46.48	46.51	272

Ausgabe: Farbmatisches Reflexions-System ORS18

für Buntton  $h^* = lab^*h = 25/360 = 0.069$   
 $lab^*ich$  und  $lab^*nch$

D65: Buntton R  
LCH\*Ma: 48 75 25  
rgb\*Ma: 1.0 0.0 0.32

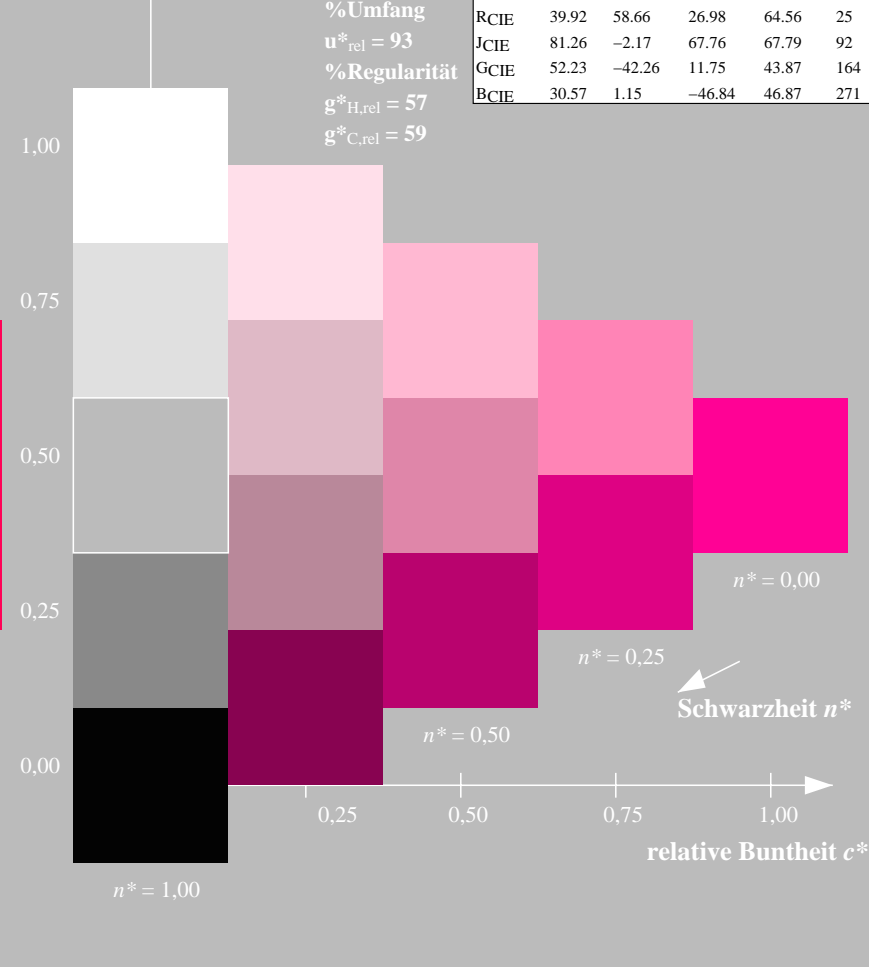
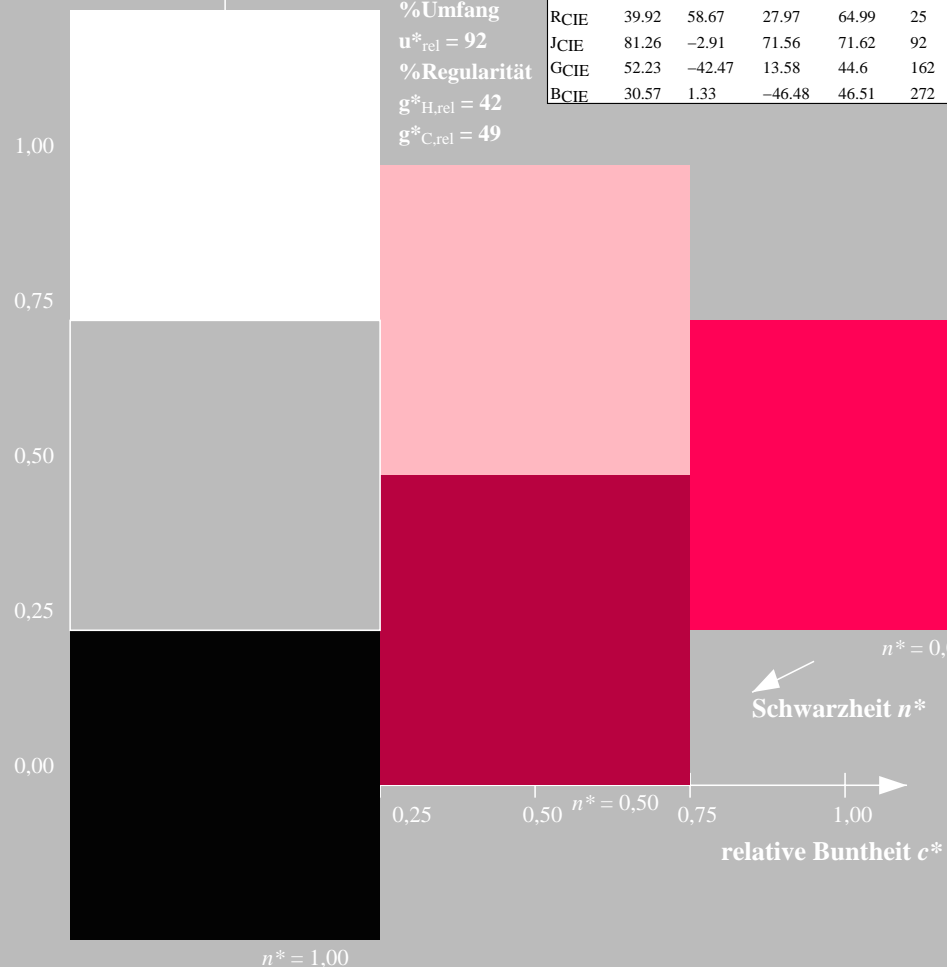
Dreiecks-Helligkeit  $t^*$



%Umfang  
 $u^*_{rel} = 93$   
%Regularität  
 $g^*_{H,rel} = 57$   
 $g^*_{C,rel} = 59$

ORS18; adaptierte CIELAB-Daten

	$L^*=L^*_a$	$a^*_a$	$b^*_a$	$C^*_{ab,a}$	$h^*_{ab,a}$
OMa	47.94	65.37	50.52	82.62	38
YMa	90.37	-10.27	91.77	92.34	96
LMa	50.9	-62.79	34.95	71.87	151
CMa	58.62	-30.35	-45.01	54.3	236
VMa	25.71	31.11	-44.42	54.24	305
MMa	48.13	75.27	-8.35	75.73	354
NMa	18.01	0.0	0.0	0.0	0
WMa	95.41	0.0	0.0	0.0	0
RCIE	39.92	58.66	26.98	64.56	25
JCIE	81.26	-2.17	67.76	67.79	92
GCIE	52.23	-42.26	11.75	43.87	164
BCIE	30.57	1.15	-46.84	46.87	271



TG860-7, 3stufige Reihen für konstanten CIELAB Buntton 25/360 = 0.071 (links)

5stufige Reihen für konstanten CIELAB Buntton 25/360 = 0.069 (rechts)

BAM-Prüfvorlage TG86; Farbmatrik-Systeme MRS18a & ORS18  
D65: 3 und 5stufige Farbreihen für 10 Bunttöne

input: `olv* setrgbcolor`  
output: `olv* setrgbcolor / w* setgray`

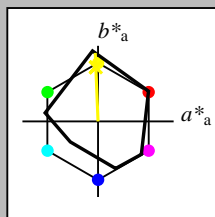




BAM-Registrierung: 20060101-TG86/10Q/Q86G07FP.PS/.PDF BAM-Material: Code=rh4ta  
Anwendung für Beurteilung und Messung von Drucker- oder Monitorsystemen, Yr=2.5, XYZ  
/TG86 Form: 8/10, Serie: 1/1, Seite: 8 Seitenlung 8

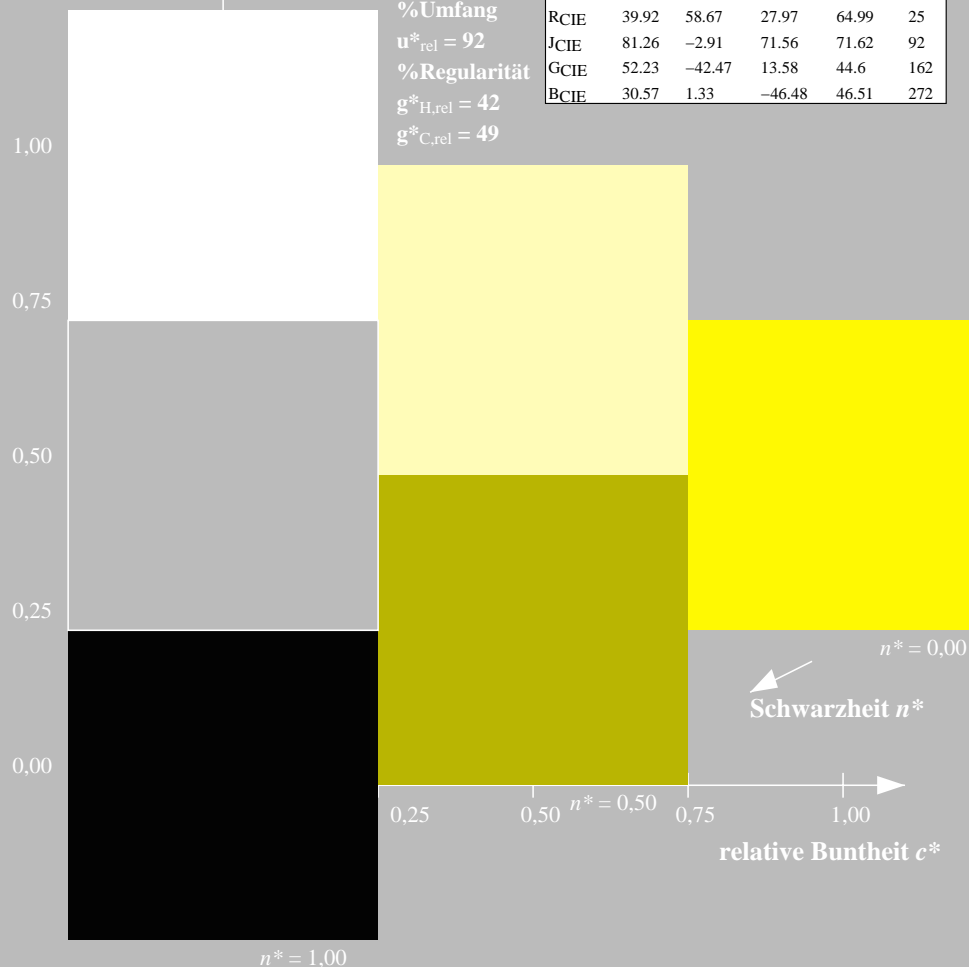
Eingabe: Farbmatisches Reflexions-System MRS18a  
für Buntton  $h^* = lab^*h = 92/360 = 0.256$   
 $lab^*ich$  und  $lab^*nch$

D65: Buntton J  
LCH\*Ma: 89 91 92  
rgb\*Ma: 1.0 0.95 0.0  
Dreiecks-Helligkeit  $t^*$



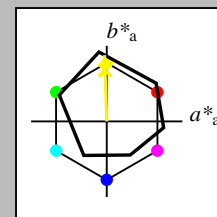
MRS18a; adaptierte CIELAB-Daten					
	$L^*=L^*_a$	$a^*_a$	$b^*_a$	$C^*_{ab,a}$	$h^*_{ab,a}$
RMa	49.63	66.8	40.02	77.87	31
JMa	90.7	-7.27	93.19	93.48	94
GMa	52.11	-69.93	11.26	70.85	171
G50BMa	45.03	-36.65	-27.13	45.61	217
BMa	36.65	23.26	-62.27	66.49	290
B50RMa	34.94	57.27	-43.6	71.99	323
NMa	18.01	0.0	0.0	0.0	0
WMa	95.41	0.0	0.0	0.0	0
RCIE	39.92	58.67	27.97	64.99	25
JCIE	81.26	-2.91	71.56	71.62	92
GCIE	52.23	-42.47	13.58	44.6	162
BCIE	30.57	1.33	-46.48	46.51	272

%Umfang  
 $u^*_{rel} = 92$   
%Regularität  
 $g^*_{H,rel} = 42$   
 $g^*_{C,rel} = 49$



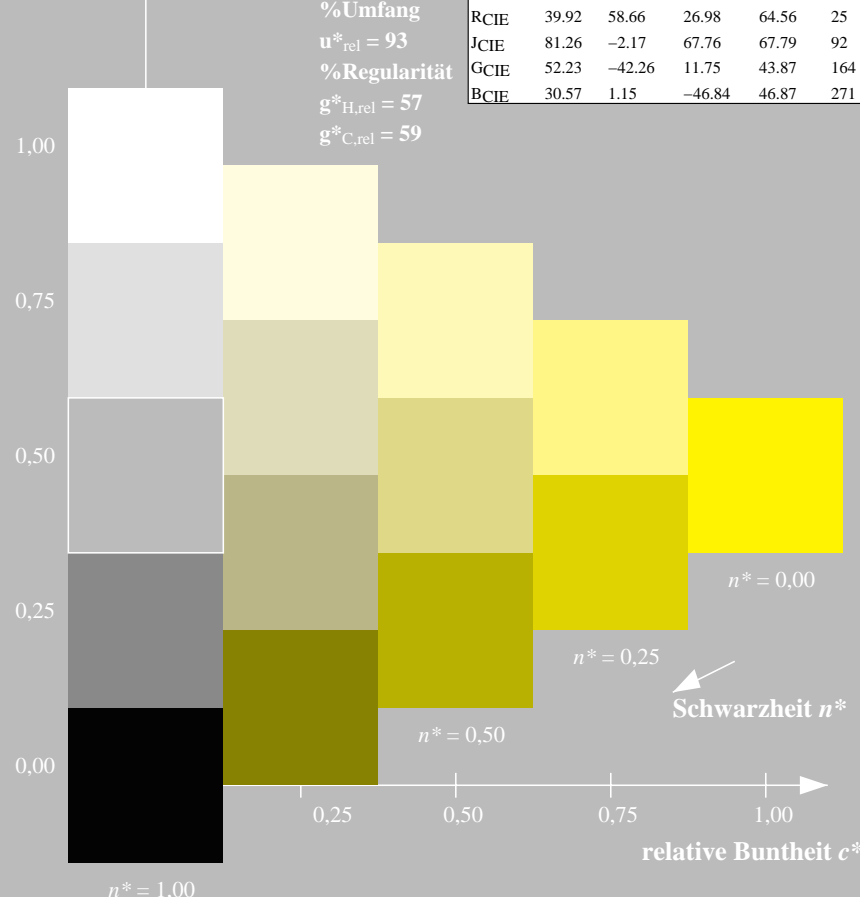
Ausgabe: Farbmatisches Reflexions-System ORS18  
für Buntton  $h^* = lab^*h = 92/360 = 0.255$   
 $lab^*ich$  und  $lab^*nch$

D65: Buntton J  
LCH\*Ma: 86 88 92  
rgb\*Ma: 1.0 0.9 0.0  
Dreiecks-Helligkeit  $t^*$



ORS18; adaptierte CIELAB-Daten					
	$L^*=L^*_a$	$a^*_a$	$b^*_a$	$C^*_{ab,a}$	$h^*_{ab,a}$
OMa	47.94	65.37	50.52	82.62	38
YMa	90.37	-10.27	91.77	92.34	96
LMa	50.9	-62.79	34.95	71.87	151
CMa	58.62	-30.35	-45.01	54.3	236
VMa	25.71	31.11	-44.42	54.24	305
MMa	48.13	75.27	-8.35	75.73	354
NMa	18.01	0.0	0.0	0.0	0
WMa	95.41	0.0	0.0	0.0	0
RCIE	39.92	58.66	26.98	64.56	25
JCIE	81.26	-2.17	67.76	67.79	92
GCIE	52.23	-42.26	11.75	43.87	164
BCIE	30.57	1.15	-46.84	46.87	271

%Umfang  
 $u^*_{rel} = 93$   
%Regularität  
 $g^*_{H,rel} = 57$   
 $g^*_{C,rel} = 59$



TG860-7, 3stufige Reihen für konstanten CIELAB Buntton 92/360 = 0.256 (links)

5stufige Reihen für konstanten CIELAB Buntton 92/360 = 0.255 (rechts)

BAM-Prüfvorlage TG86; Farbmatrik-Systeme MRS18a & ORS18  
D65: 3 und 5stufige Farbreihen für 10 Bunttöne

input: `olv* setrgbcolor`  
output: `olv* setrgbcolor / w* setgray`





Eingabe: Farbmatisches Reflexions-System MRS18a

für Buntton  $h^* = lab^*h = 162/360 = 0.451$

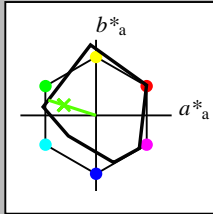
$lab^*ich$  und  $lab^*nch$

D65: Buntton G

LCH\*Ma: 56 66 162

rgb\*Ma: 0.11 1.0 0.0

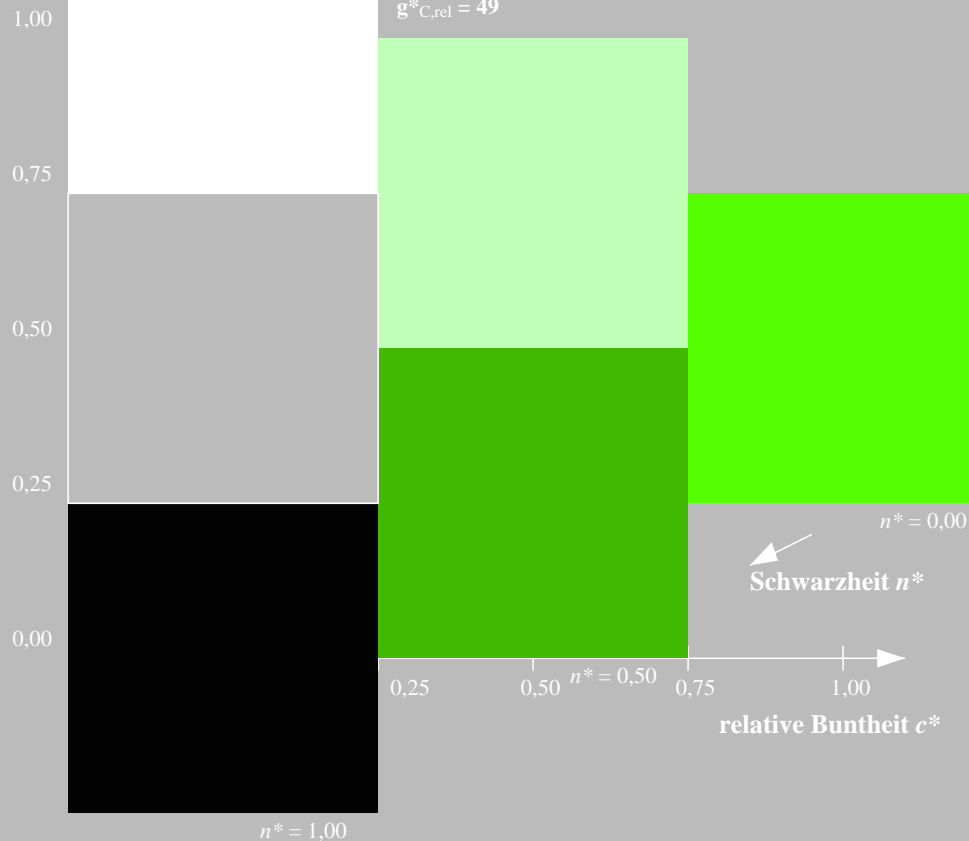
Dreiecks-Helligkeit  $t^*$



MRS18a; adaptierte CIELAB-Daten

	$L^*=L_a^*$	$a_a^*$	$b_a^*$	$C_{ab,a}^*$	$h_{ab,a}^*$
RMa	49.63	66.8	40.02	77.87	31
JMa	90.7	-7.27	93.19	93.48	94
GMa	52.11	-69.93	11.26	70.85	171
G50BMa	45.03	-36.65	-27.13	45.61	217
BMa	36.65	23.26	-62.27	66.49	290
B50RMa	34.94	57.27	-43.6	71.99	323
NMa	18.01	0.0	0.0	0.0	0
WMa	95.41	0.0	0.0	0.0	0
RCIE	39.92	58.67	27.97	64.99	25
JCIE	81.26	-2.91	71.56	71.62	92
GCIE	52.23	-42.47	13.58	44.6	162
BCIE	30.57	1.33	-46.48	46.51	272

%Umfang  
 $u_{rel}^* = 92$   
%Regularität  
 $g_{H,rel}^* = 42$   
 $g_{C,rel}^* = 49$



TG860-7, 3stufige Reihen für konstanten CIELAB Buntton 162/360 = 0.451 (links)

BAM-Prüfvorlage TG86; Farbmatrik-Systeme MRS18a & ORS18  
D65: 3 und 5stufige Farbreihen für 10 Bunttöne

Ausgabe: Farbmatisches Reflexions-System ORS18

für Buntton  $h^* = lab^*h = 164/360 = 0.457$

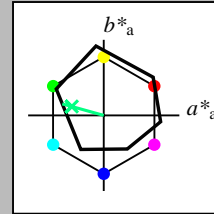
$lab^*ich$  und  $lab^*nch$

D65: Buntton G

LCH\*Ma: 53 57 164

rgb\*Ma: 0.0 1.0 0.25

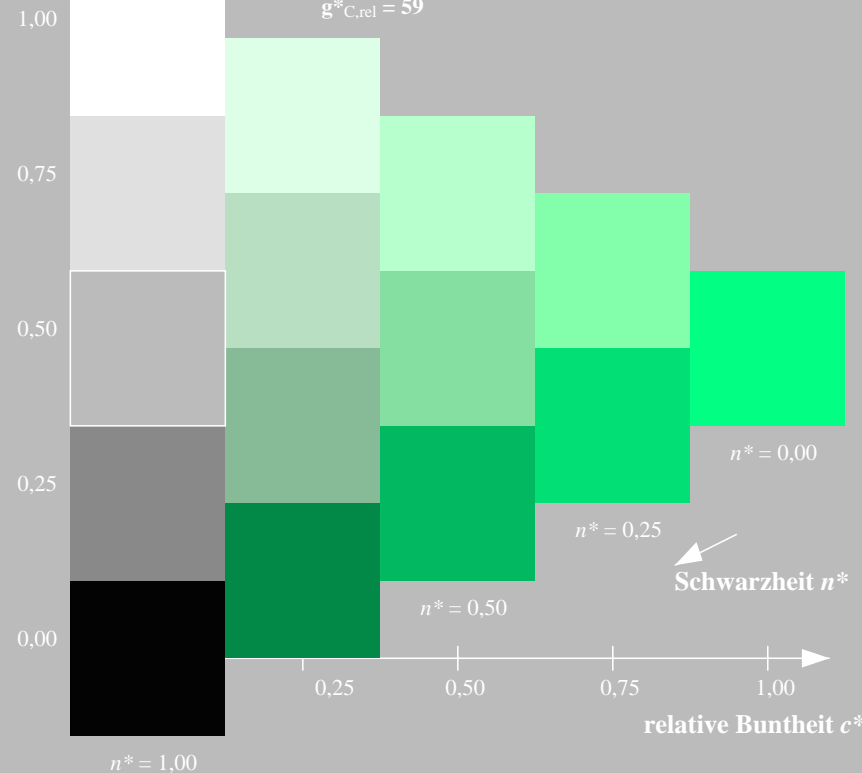
Dreiecks-Helligkeit  $t^*$



ORS18; adaptierte CIELAB-Daten

	$L^*=L_a^*$	$a_a^*$	$b_a^*$	$C_{ab,a}^*$	$h_{ab,a}^*$
OMa	47.94	65.37	50.52	82.62	38
YMa	90.37	-10.27	91.77	92.34	96
LMa	50.9	-62.79	34.95	71.87	151
CMa	58.62	-30.35	-45.01	54.3	236
VMa	25.71	31.11	-44.42	54.24	305
MMa	48.13	75.27	-8.35	75.73	354
NMa	18.01	0.0	0.0	0.0	0
WMa	95.41	0.0	0.0	0.0	0
RCIE	39.92	58.66	26.98	64.56	25
JCIE	81.26	-2.17	67.76	67.79	92
GCIE	52.23	-42.26	11.75	43.87	164
BCIE	30.57	1.15	-46.84	46.87	271

%Umfang  
 $u_{rel}^* = 93$   
%Regularität  
 $g_{H,rel}^* = 57$   
 $g_{C,rel}^* = 59$



5stufige Reihen für konstanten CIELAB Buntton 164/360 = 0.457 (rechts)

Input: `olv* setrgbcolor`  
output: `olv* setrgbcolor / w* setgray`

Eingabe: Farbmatisches Reflexions-System MRS18a

für Buntton  $h^* = lab^*h = 272/360 = 0.755$

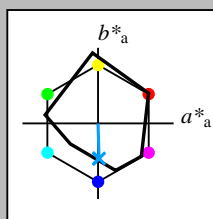
$lab^*ich$  und  $lab^*nch$

D65: Buntton B

LCH\*Ma: 40 49 272

rgb\*Ma: 0.0 0.36 1.0

Dreiecks-Helligkeit  $t^*$



%Umfang  
 $u^*_{rel} = 92$   
%Regularität  
 $g^*_{H,rel} = 42$   
 $g^*_{C,rel} = 49$

MRS18a; adaptierte CIELAB-Daten

	$L^*=L^*_a$	$a^*_a$	$b^*_a$	$C^*_{ab,a}$	$h^*_{ab,a}$
RMa	49.63	66.8	40.02	77.87	31
JMa	90.7	-7.27	93.19	93.48	94
GMa	52.11	-69.93	11.26	70.85	171
G50BMa	45.03	-36.65	-27.13	45.61	217
BMa	36.65	23.26	-62.27	66.49	290
B50RMa	34.94	57.27	-43.6	71.99	323
NMa	18.01	0.0	0.0	0.0	0
WMa	95.41	0.0	0.0	0.0	0
RCIE	39.92	58.67	27.97	64.99	25
JCIE	81.26	-2.91	71.56	71.62	92
GCIE	52.23	-42.47	13.58	44.6	162
BCIE	30.57	1.33	-46.48	46.51	272

Ausgabe: Farbmatisches Reflexions-System ORS18

für Buntton  $h^* = lab^*h = 271/360 = 0.754$

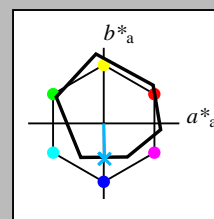
$lab^*ich$  und  $lab^*nch$

D65: Buntton B

LCH\*Ma: 42 45 271

rgb\*Ma: 0.0 0.49 1.0

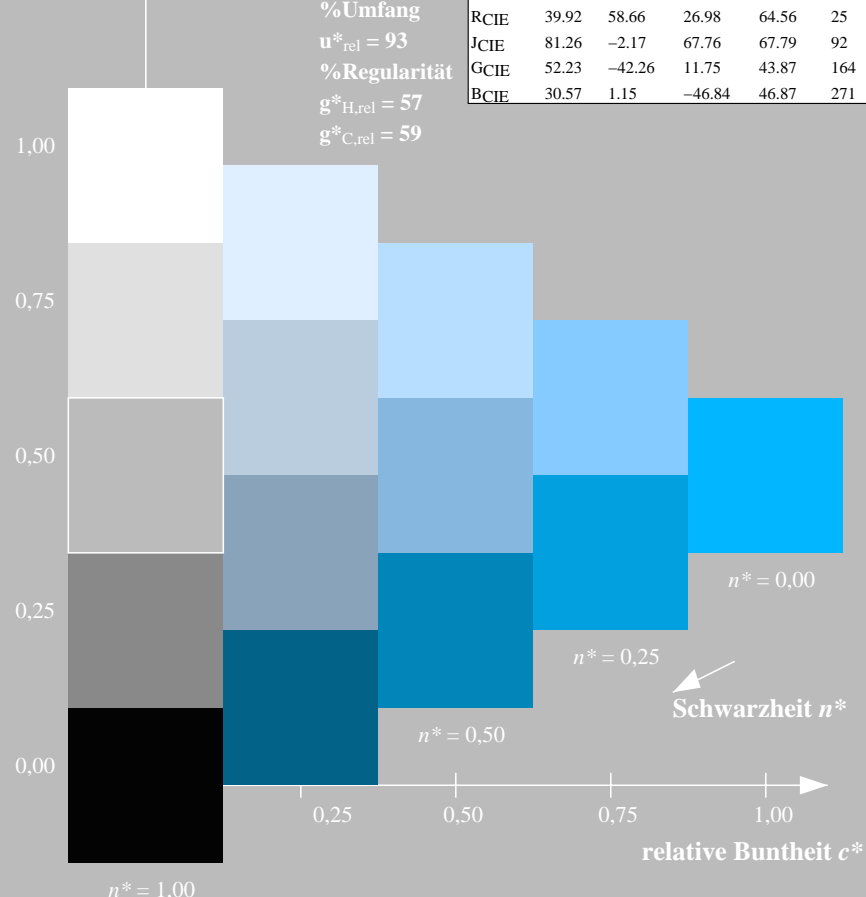
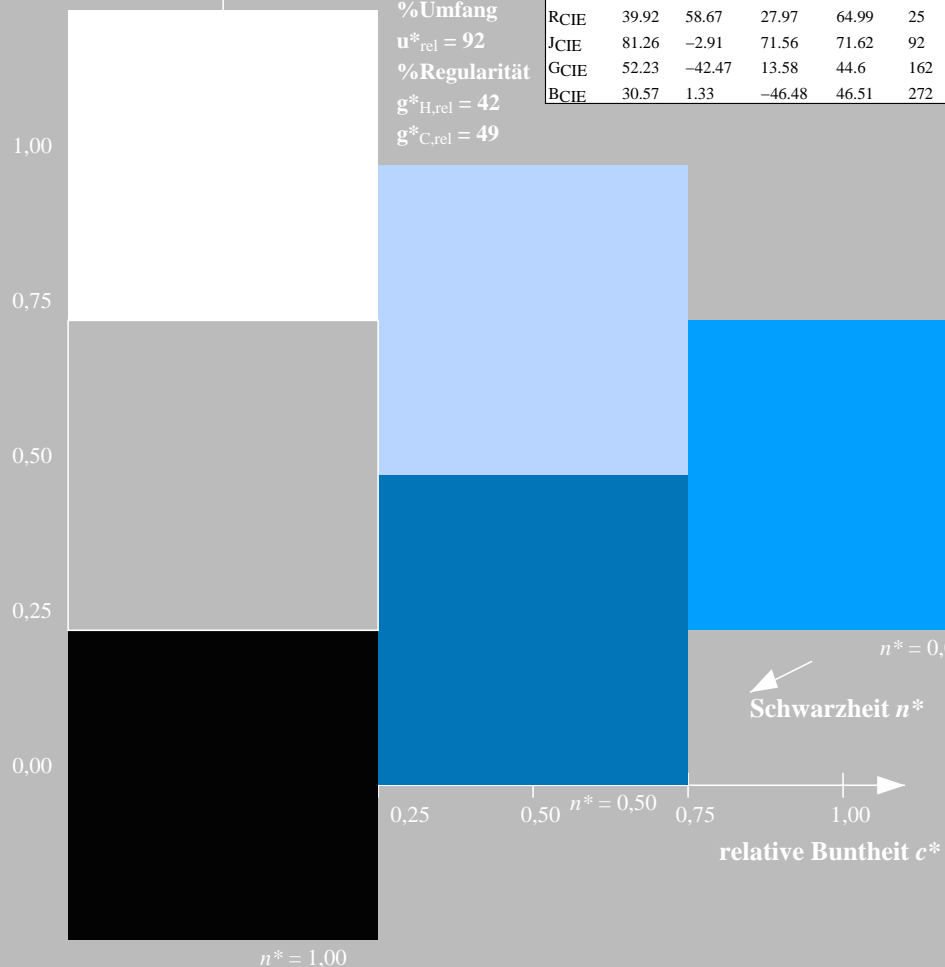
Dreiecks-Helligkeit  $t^*$



%Umfang  
 $u^*_{rel} = 93$   
%Regularität  
 $g^*_{H,rel} = 57$   
 $g^*_{C,rel} = 59$

ORS18; adaptierte CIELAB-Daten

	$L^*=L^*_a$	$a^*_a$	$b^*_a$	$C^*_{ab,a}$	$h^*_{ab,a}$
OMa	47.94	65.37	50.52	82.62	38
YMa	90.37	-10.27	91.77	92.34	96
LMa	50.9	-62.79	34.95	71.87	151
CMa	58.62	-30.35	-45.01	54.3	236
VMa	25.71	31.11	-44.42	54.24	305
MMa	48.13	75.27	-8.35	75.73	354
NMa	18.01	0.0	0.0	0.0	0
WMa	95.41	0.0	0.0	0.0	0
RCIE	39.92	58.66	26.98	64.56	25
JCIE	81.26	-2.17	67.76	67.79	92
GCIE	52.23	-42.26	11.75	43.87	164
BCIE	30.57	1.15	-46.84	46.87	271



TG860-7, 3stufige Reihen für konstanten CIELAB Buntton 272/360 = 0.755 (links)

5stufige Reihen für konstanten CIELAB Buntton 271/360 = 0.754 (rechts)

BAM-Prüfvorlage TG86; Farbmatrik-Systeme MRS18a & ORS18

D65: 3 und 5stufige Farbreihen für 10 Bunttöne

input: `olv* setrgbcolor`

output: `olv* setrgbcolor / w* setgray`